

Autour des algorithmes de rejet anticipé

Axel Bacher

Coauteurs: Olivier Bodini Alice Jacquot Andrea Sportiello

21 septembre 2017

Sommaire

- 1 Rejet anticipé
- 2 Algorithmes de « rattrapage »
- 3 Lois limites
- 4 Perspectives

Algorithme florentin pour les préfixes de Motzkin

[Barcucci, Pinzani, Sprugnoli 1994, 1995]



Algorithme florentin pour les préfixes de Motzkin

[Barcucci, Pinzani, Sprugnoli 1994, 1995]



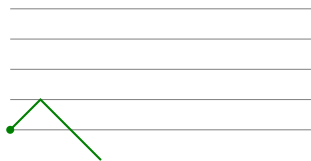
Algorithme florentin pour les préfixes de Motzkin

[Barcucci, Pinzani, Sprugnoli 1994, 1995]



Algorithme florentin pour les préfixes de Motzkin

[Barcucci, Pinzani, Sprugnoli 1994, 1995]



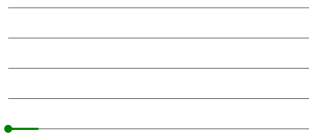
Algorithme florentin pour les préfixes de Motzkin

[Barcucci, Pinzani, Sprugnoli 1994, 1995]



Algorithme florentin pour les préfixes de Motzkin

[Barcucci, Pinzani, Sprugnoli 1994, 1995]



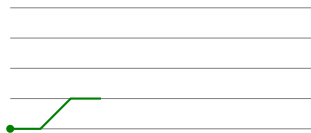
Algorithme florentin pour les préfixes de Motzkin

[Barcucci, Pinzani, Sprugnoli 1994, 1995]



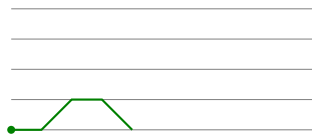
Algorithme florentin pour les préfixes de Motzkin

[Barcucci, Pinzani, Sprugnoli 1994, 1995]



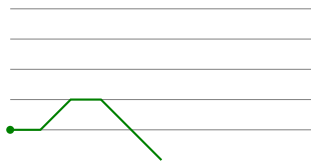
Algorithme florentin pour les préfixes de Motzkin

[Barcucci, Pinzani, Sprugnoli 1994, 1995]



Algorithme florentin pour les préfixes de Motzkin

[Barcucci, Pinzani, Sprugnoli 1994, 1995]



Algorithme florentin pour les préfixes de Motzkin

[Barcucci, Pinzani, Sprugnoli 1994, 1995]



Algorithme florentin pour les préfixes de Motzkin

[Barcucci, Pinzani, Sprugnoli 1994, 1995]



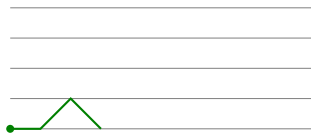
Algorithme florentin pour les préfixes de Motzkin

[Barcucci, Pinzani, Sprugnoli 1994, 1995]



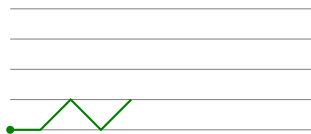
Algorithme florentin pour les préfixes de Motzkin

[Barcucci, Pinzani, Sprugnoli 1994, 1995]



Algorithme florentin pour les préfixes de Motzkin

[Barcucci, Pinzani, Sprugnoli 1994, 1995]



Algorithme florentin pour les préfixes de Motzkin

[Barcucci, Pinzani, Sprugnoli 1994, 1995]



Algorithme florentin pour les préfixes de Motzkin

[Barcucci, Pinzani, Sprugnoli 1994, 1995]



Algorithme florentin pour les préfixes de Motzkin

[Barcucci, Pinzani, Sprugnoli 1994, 1995]



Algorithme florentin pour les préfixes de Motzkin

[Barcucci, Pinzani, Sprugnoli 1994, 1995]



Algorithme florentin pour les préfixes de Motzkin

[Barcucci, Pinzani, Sprugnoli 1994, 1995]



Algorithme florentin pour les préfixes de Motzkin

[Barcucci, Pinzani, Sprugnoli 1994, 1995]



Algorithme florentin pour les préfixes de Motzkin

[Barcucci, Pinzani, Sprugnoli 1994, 1995]



- Complexité : $\mathcal{O}(\sqrt{n})$ essais,

Algorithme florentin pour les préfixes de Motzkin

[Barcucci, Pinzani, Sprugnoli 1994, 1995]



- Complexité : $\mathcal{O}(\sqrt{n})$ essais, coût $\mathcal{O}(\sqrt{n})$ par essai
- Analyse en loi limite [Louchard 1999].

Algorithme florentin pour les préfixes de Motzkin

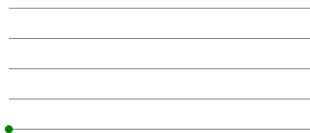
[Barcucci, Pinzani, Sprugnoli 1994, 1995]



- Complexité : $\mathcal{O}(\sqrt{n})$ essais, coût $\mathcal{O}(\sqrt{n})$ par essai $\Rightarrow \mathcal{O}(n)$.
- Analyse en loi limite [Louchard 1999].

Algorithme florentin pour les préfixes de Schröder

[Penaud, Pergola, Pinzani, Roques 2001]



$$P(\swarrow, \searrow) = \rho$$

$$P(\text{—}) = \rho^2$$

Algorithme florentin pour les préfixes de Schröder

[Penaud, Pergola, Pinzani, Roques 2001]

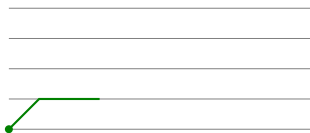


$$P(\swarrow, \searrow) = \rho$$

$$P(\text{—}) = \rho^2$$

Algorithme florentin pour les préfixes de Schröder

[Penaud, Pergola, Pinzani, Roques 2001]



$$P(\swarrow, \searrow) = \rho$$

$$P(\text{—}) = \rho^2$$

Algorithme florentin pour les préfixes de Schröder

[Penaud, Pergola, Pinzani, Roques 2001]

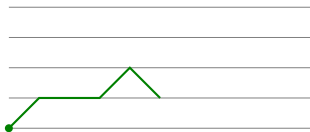


$$P(\nearrow, \searrow) = \rho$$

$$P(\text{—}) = \rho^2$$

Algorithme florentin pour les préfixes de Schröder

[Penaud, Pergola, Pinzani, Roques 2001]

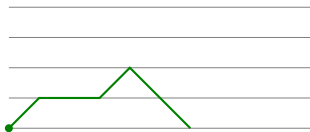


$$P(\nearrow, \searrow) = \rho$$

$$P(\text{—}) = \rho^2$$

Algorithme florentin pour les préfixes de Schröder

[Penaud, Pergola, Pinzani, Roques 2001]

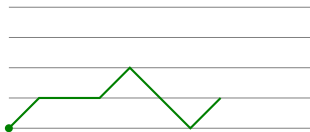


$$P(\nearrow, \searrow) = \rho$$

$$P(\text{—}) = \rho^2$$

Algorithme florentin pour les préfixes de Schröder

[Penaud, Pergola, Pinzani, Roques 2001]

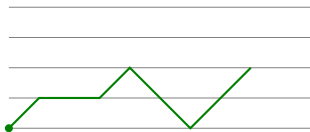


$$P(\nearrow, \searrow) = \rho$$

$$P(\text{—}) = \rho^2$$

Algorithme florentin pour les préfixes de Schröder

[Penaud, Pergola, Pinzani, Roques 2001]

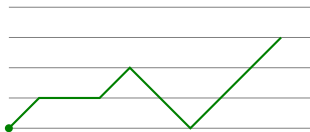


$$P(\nearrow, \searrow) = \rho$$

$$P(\text{—}) = \rho^2$$

Algorithme florentin pour les préfixes de Schröder

[Penaud, Pergola, Pinzani, Roques 2001]

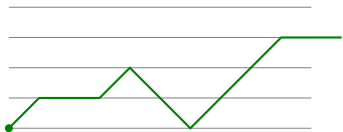


$$P(\nearrow, \searrow) = \rho$$

$$P(\text{—}) = \rho^2$$

Algorithme florentin pour les préfixes de Schröder

[Penaud, Pergola, Pinzani, Roques 2001]



$$P(\swarrow, \searrow) = \rho$$

$$P(\text{—}) = \rho^2$$

Algorithme florentin pour les préfixes de Schröder

[Penaud, Pergola, Pinzani, Roques 2001]



$$P(\nearrow, \searrow) = \rho$$

$$P(\text{—}) = \rho^2$$

- **Deuxième tour de rejet** si on rate la taille cible.

Algorithme florentin pour les préfixes de Schröder

[Penaud, Pergola, Pinzani, Roques 2001]

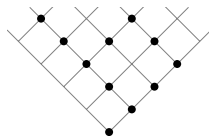


$$P(\swarrow, \searrow) = \rho$$

$$P(\text{—}) = \rho^2$$

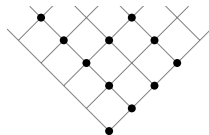
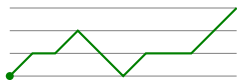
- **Deuxième tour de rejet** si on rate la taille cible.
- La **probabilité d'accepter** tend vers $p = \frac{2 + \sqrt{2}}{4} \Rightarrow$ complexité $\mathcal{O}(n)$.

Bijections

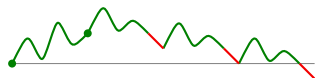
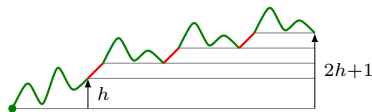


- Bijections avec des animaux dirigés :
 - préfixes de Motzkin \longleftrightarrow AD sur le réseau carré ;
[Gouyou-Beauchamps, Viennot 1988 ; Bétréma, Penaud 2001]
 - préfixes de Dyck \longleftrightarrow AD sur le réseau triangulaire ;
 - petits préfixes de Schröder \longleftrightarrow AD sur le réseau du roi. [B. 2013]

Bijections

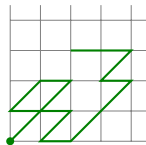
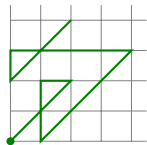


- Bijections avec des animaux dirigés :
 - préfixes de Motzkin \longleftrightarrow AD sur le réseau carré ;
[Gouyou-Beauchamps, Viennot 1988 ; Bétréma, Penaud 2001]
 - préfixes de Dyck \longleftrightarrow AD sur le réseau triangulaire ;
 - petits préfixes de Schröder \longleftrightarrow AD sur le réseau du roi. [B. 2013]



- préfixes de hauteur impaire \longleftrightarrow chemins de Łukasiewicz pointés
(pour Motzkin, 2^e tour de rejet avec $p = 1/2$)

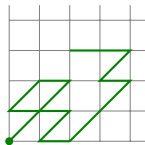
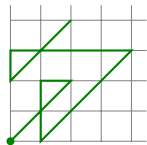
Algorithmes florentins pour d'autres marches



- Nombre d'essais $\mathcal{O}(n^{3/4})$.
- Coût d'un essai $\mathcal{O}(n^{1/4})$.
- Complexité $\mathcal{O}(n)$.

- Nombre d'essais $\mathcal{O}(n^{2/3})$.
- Coût d'un essai $\mathcal{O}(n^{1/3})$.
- Complexité $\mathcal{O}(n)$.

Algorithmes florentins pour d'autres marches



- Nombre d'essais $\mathcal{O}(n^{3/4})$.
 - Coût d'un essai $\mathcal{O}(n^{1/4})$.
 - Complexité $\mathcal{O}(n)$.
- Nombre d'essais $\mathcal{O}(n^{2/3})$.
 - Coût d'un essai $\mathcal{O}(n^{1/3})$.
 - Complexité $\mathcal{O}(n)$.
- Il est possible d'engendrer efficacement **toutes les familles** de marches dans le quart de plan **[Lumbroso, Mishna, Ponty 2016]**.
 - Autres possibilités : marches dans un **cône**, **d dimensions**, etc.

Algorithme de greffe pour les arbres binaires



[B., Bodini, Jacquot 2013]

- À chaque étape du processus :
 - On crée un nouveau nœud et une nouvelle feuille à gauche ou à droite ;
 - Avec probabilité $1/2$, on remonte le point.

Algorithme de greffe pour les arbres binaires



[B., Bodini, Jacquot 2013]

- À chaque étape du processus :
 - On crée un nouveau nœud et une nouvelle feuille à gauche ou à droite ;
 - Avec probabilité $1/2$, on remonte le point.

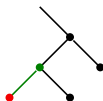
Algorithme de greffe pour les arbres binaires



[B., Bodini, Jacquot 2013]

- À chaque étape du processus :
 - On crée un nouveau nœud et une nouvelle feuille à gauche ou à droite ;
 - Avec probabilité $1/2$, on remonte le point.

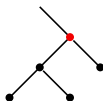
Algorithme de greffe pour les arbres binaires



[B., Bodini, Jacquot 2013]

- À chaque étape du processus :
 - On crée un nouveau nœud et une nouvelle feuille à gauche ou à droite ;
 - Avec probabilité $1/2$, on remonte le point.

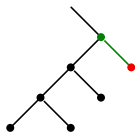
Algorithme de greffe pour les arbres binaires



[B., Bodini, Jacquot 2013]

- À chaque étape du processus :
 - On crée un nouveau nœud et une nouvelle feuille à gauche ou à droite ;
 - Avec probabilité $1/2$, on remonte le point.

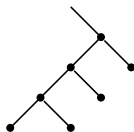
Algorithme de greffe pour les arbres binaires



[B., Bodini, Jacquot 2013]

- À chaque étape du processus :
 - On crée un nouveau nœud et une nouvelle feuille à gauche ou à droite ;
 - Avec probabilité $1/2$, on remonte le point.

Algorithme de greffe pour les arbres binaires



[B., Bodini, Jacquot 2013]

- À chaque étape du processus :
 - On crée un nouveau nœud et une nouvelle feuille à gauche ou à droite ;
 - Avec probabilité $1/2$, on remonte le point.

Algorithme de greffe pour les arbres binaires



[B., Bodini, Jacquot 2013]

- À chaque étape du processus :
 - On crée un nouveau nœud et une nouvelle feuille à gauche ou à droite ;
 - Avec probabilité $1/2$, on remonte le point.
- Si le point sort de l'arbre, on rejette et on recommence.

Algorithme de greffe pour les arbres binaires



[B., Bodini, Jacquot 2013]

- À chaque étape du processus :
 - On crée un nouveau nœud et une nouvelle feuille à gauche ou à droite ;
 - Avec probabilité $1/2$, on remonte le point.
- Si le point sort de l'arbre, on rejette et on recommence.

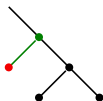
Algorithme de greffe pour les arbres binaires



[B., Bodini, Jacquot 2013]

- À chaque étape du processus :
 - On crée un nouveau nœud et une nouvelle feuille à gauche ou à droite ;
 - Avec probabilité $1/2$, on remonte le point.
- Si le point sort de l'arbre, on rejette et on recommence.

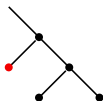
Algorithme de greffe pour les arbres binaires



[B., Bodini, Jacquot 2013]

- À chaque étape du processus :
 - On crée un nouveau nœud et une nouvelle feuille à gauche ou à droite ;
 - Avec probabilité $1/2$, on remonte le point.
- Si le point sort de l'arbre, on rejette et on recommence.

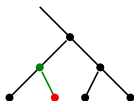
Algorithme de greffe pour les arbres binaires



[B., Bodini, Jacquot 2013]

- À chaque étape du processus :
 - On crée un nouveau nœud et une nouvelle feuille à gauche ou à droite ;
 - Avec probabilité $1/2$, on remonte le point.
- Si le point sort de l'arbre, on rejette et on recommence.

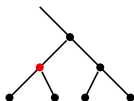
Algorithme de greffe pour les arbres binaires



[B., Bodini, Jacquot 2013]

- À chaque étape du processus :
 - On crée un nouveau nœud et une nouvelle feuille à gauche ou à droite ;
 - Avec probabilité $1/2$, on remonte le point.
- Si le point sort de l'arbre, on rejette et on recommence.

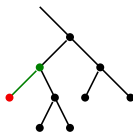
Algorithme de greffe pour les arbres binaires



[B., Bodini, Jacquot 2013]

- À chaque étape du processus :
 - On crée un nouveau nœud et une nouvelle feuille à gauche ou à droite ;
 - Avec probabilité $1/2$, on remonte le point.
- Si le point sort de l'arbre, on rejette et on recommence.

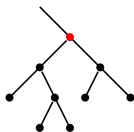
Algorithme de greffe pour les arbres binaires



[B., Bodini, Jacquot 2013]

- À chaque étape du processus :
 - On crée un nouveau nœud et une nouvelle feuille à gauche ou à droite ;
 - Avec probabilité $1/2$, on remonte le point.
- Si le point sort de l'arbre, on rejette et on recommence.

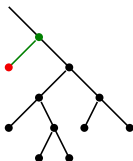
Algorithme de greffe pour les arbres binaires



[B., Bodini, Jacquot 2013]

- À chaque étape du processus :
 - On crée un nouveau nœud et une nouvelle feuille à gauche ou à droite ;
 - Avec probabilité $1/2$, on remonte le point.
- Si le point sort de l'arbre, on rejette et on recommence.

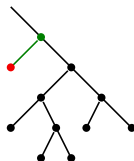
Algorithme de greffe pour les arbres binaires



[B., Bodini, Jacquot 2013]

- À chaque étape du processus :
 - On crée un nouveau nœud et une nouvelle feuille à gauche ou à droite ;
 - Avec probabilité $1/2$, on remonte le point.
- Si le point sort de l'arbre, on rejette et on recommence.

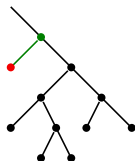
Algorithme de greffe pour les arbres binaires



[B., Bodini, Jacquot 2013]

- À chaque étape du processus :
 - On crée un nouveau nœud et une nouvelle feuille à gauche ou à droite ;
 - Avec probabilité $1/2$, on remonte le point.
- Si le point sort de l'arbre, on rejette et on recommence.
- À chaque étape, l'arbre pointé est distribué uniformément.

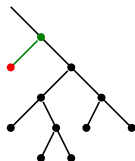
Algorithme de greffe pour les arbres binaires



[B., Bodini, Jacquot 2013]

- À chaque étape du processus :
 - On crée un nouveau nœud et une nouvelle feuille à gauche ou à droite ;
 - Avec probabilité $1/2$, on remonte le point.
- Si le point sort de l'arbre, on rejette et on recommence.
- À chaque étape, l'arbre pointé est distribué uniformément.
 - Complexité $\mathcal{O}(\sqrt{n}) \times \mathcal{O}(\sqrt{n}) = \mathcal{O}(n)$.

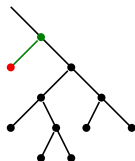
Algorithme de greffe pour les arbres binaires



[B., Bodini, Jacquot 2013]

- À chaque étape du processus :
 - On crée un nouveau nœud et une nouvelle feuille à gauche ou à droite ;
 - Avec probabilité $1/2$, on remonte le point.
- Si le point sort de l'arbre, on rejette et on recommence.
- À chaque étape, l'arbre pointé est distribué uniformément.
 - Complexité $\mathcal{O}(\sqrt{n}) \times \mathcal{O}(\sqrt{n}) = \mathcal{O}(n)$.
 - Variante de l'algorithme de Rémy (qui coûte $\mathcal{O}(n \log n)$ bits aléatoires).

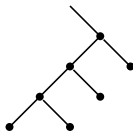
Algorithme de greffe pour les arbres binaires



[B., Bodini, Jacquot 2013]

- À chaque étape du processus :
 - On crée un nouveau nœud et une nouvelle feuille à gauche ou à droite ;
 - Avec probabilité $1/2$, on remonte le point.
- Si le point sort de l'arbre, on rejette et on recommence.
- À chaque étape, l'arbre pointé est distribué uniformément.
- Complexité $\mathcal{O}(\sqrt{n}) \times \mathcal{O}(\sqrt{n}) = \mathcal{O}(n)$.
- Variante de l'algorithme de Rémy (qui coûte $\mathcal{O}(n \log n)$ bits aléatoires).
- Fonctionne aussi sur les arbres 1-2, avec un 2^e tour de rejet ($p = 3/4$).

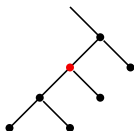
Raffinement de l'algorithme de greffe



[B., Bodini, Jacquot 2013]

- On peut améliorer l'algorithme précédent : si le point sort de l'arbre, au lieu de rejeter, on retire un point aléatoire.

Raffinement de l'algorithme de greffe



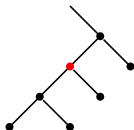
[B., Bodini, Jacquot 2013]

- On peut améliorer l'algorithme précédent : si le point sort de l'arbre, au lieu de rejeter, on retire un point aléatoire.
- Surcoût moyen dû à ces « rattrapages » :

$$\sum_{i=1}^n \frac{\log_2 i}{2^i} = \mathcal{O}(\log^2 n).$$

Le coût en bits aléatoires est donc de $2n + \mathcal{O}(\log^2 n)$, ce qui est asymptotiquement optimal (algorithme entropique).

Raffinement de l'algorithme de greffe



[B., Bodini, Jacquot 2013]

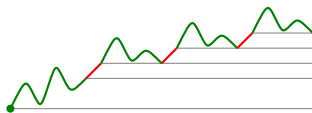
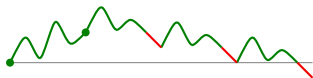
- On peut améliorer l'algorithme précédent : si le point sort de l'arbre, au lieu de rejeter, on **retire un point aléatoire**.
- Surcoût moyen dû à ces « rattrapages » :

$$\sum_{i=1}^n \frac{\log_2 i}{2^i} = \mathcal{O}(\log^2 n).$$

Le coût en bits aléatoires est donc de $2n + \mathcal{O}(\log^2 n)$, ce qui est asymptotiquement **optimal** (algorithme **entropique**).

- Ne fonctionne pas pour les arbres 1-2 (on perd l'uniformité).

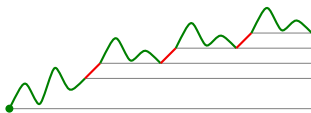
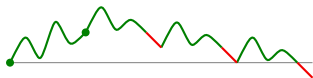
Algorithme de « rattrapage » pour les chemins de Dyck



[B. 2016]

- Pour engendrer un préfixe de Dyck, on tire des pas aléatoires ; si on crève le plancher, on **tire un point aléatoire** et on **déplie**.

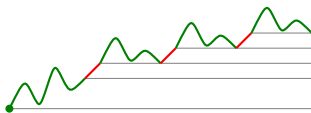
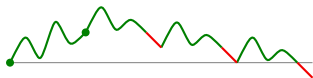
Algorithme de « rattrapage » pour les chemins de Dyck



[B. 2016]

- Pour engendrer un préfixe de Dyck, on tire des pas aléatoires ; si on crève le plancher, on **tire un point aléatoire** et on **déplie**.
- À chaque étape, le chemin est **uniformément distribué**.

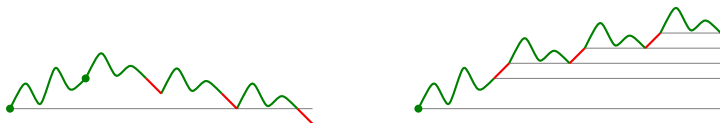
Algorithme de « rattrapage » pour les chemins de Dyck



[B. 2016]

- Pour engendrer un préfixe de Dyck, on tire des pas aléatoires ; si on crève le plancher, on **tire un point aléatoire** et on **déplie**.
- À chaque étape, le chemin est **uniformément distribué**.
- Surcoût en bits aléatoires : $\mathcal{O}(\log^2 n)$ (algorithme **entropique**).

Algorithme de « rattrapage » pour les chemins de Dyck

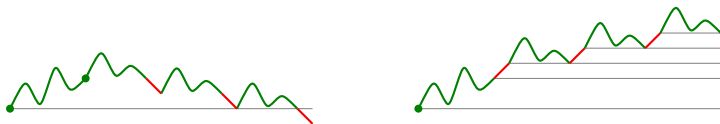


[B. 2016]

- Pour engendrer un préfixe de Dyck, on tire des pas aléatoires ; si on crève le plancher, on **tire un point aléatoire** et on **déplie**.
- À chaque étape, le chemin est **uniformément distribué**.
- Surcoût en bits aléatoires : $\mathcal{O}(\log^2 n)$ (algorithme **entropique**).
- Surcoût en accès mémoire :

$$\sum_{i=0}^{n-1} \frac{i}{4i} = \mathcal{O}(n).$$

Algorithme de « rattrapage » pour les chemins de Dyck



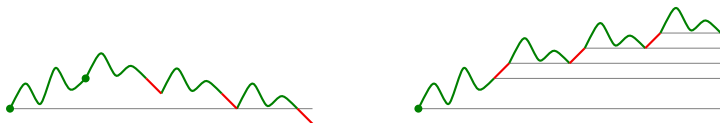
[B. 2016]

- Pour engendrer un préfixe de Dyck, on tire des pas aléatoires ; si on crève le plancher, on **tire un point aléatoire** et on **déplie**.
- À chaque étape, le chemin est **uniformément distribué**.
- Surcoût en bits aléatoires : $\mathcal{O}(\log^2 n)$ (algorithme **entropique**).
- Surcoût en accès mémoire :

$$\sum_{i=0}^{n-1} \frac{i}{4^i} = \mathcal{O}(n).$$

- Extension possible aux chemins de **m -Dyck** (pas $+1, -m$), entropique si on dispose d'une source entropique de Bernoulli $(\frac{1}{m+1})$.

Algorithme de « rattrapage » pour les chemins de Dyck



[B. 2016]

- Pour engendrer un préfixe de Dyck, on tire des pas aléatoires ; si on crève le plancher, on **tire un point aléatoire** et on **déplie**.
- À chaque étape, le chemin est **uniformément distribué**.
- Surcoût en bits aléatoires : $\mathcal{O}(\log^2 n)$ (algorithme **entropique**).
- Surcoût en accès mémoire :

$$\sum_{i=0}^{n-1} \frac{i}{4^i} = \mathcal{O}(n).$$

- Extension possible aux chemins de **m -Dyck** (pas $+1, -m$), entropique si on dispose d'une source entropique de Bernoulli $(\frac{1}{m+1})$.
- Ne fonctionne pas pour Motzkin, ni pour Schröder.

Loi limite du rejet anticipé

- Soient $(X_i)_{i \geq 0}$ des v.a. i.i.d. de loi X , telle que pour tout $x > 0$:

$$\frac{\mathbf{P}[X \geq xt]}{\mathbf{P}[X \geq t]} \xrightarrow{t \rightarrow \infty} x^{-\alpha} \quad (0 < \alpha < 1).$$

Loi limite du rejet anticipé

- Soient $(X_i)_{i \geq 0}$ des v.a. i.i.d. de loi X , telle que pour tout $x > 0$:

$$\frac{\mathbf{P}[X \geq xt]}{\mathbf{P}[X \geq t]} \xrightarrow{t \rightarrow \infty} x^{-\alpha} \quad (0 < \alpha < 1).$$

- Si $t > 0$, on définit :

$$i(t) = \min \{i \mid X_i \geq t\} \quad \text{et} \quad S(t) = X_0 + \cdots + X_{i(t)-1}.$$

Loi limite du rejet anticipé

- Soient $(X_i)_{i \geq 0}$ des v.a. i.i.d. de loi X , telle que pour tout $x > 0$:

$$\frac{\mathbf{P}[X \geq xt]}{\mathbf{P}[X \geq t]} \xrightarrow{t \rightarrow \infty} x^{-\alpha} \quad (0 < \alpha < 1).$$

- Si $t > 0$, on définit :

$$i(t) = \min \{i \mid X_i \geq t\} \quad \text{et} \quad S(t) = X_0 + \dots + X_{i(t)-1}.$$

Théorème [B., Sportiello 2015]

Le processus $S(t)/t$ tend en distribution vers la loi D_α telle que :

$$\mathbf{E}[e^{zD_\alpha}] = \left(1 - \sum_{n=1}^{\infty} \frac{\alpha}{n - \alpha} \frac{z^n}{n!}\right)^{-1}.$$

Loi limite du rejet anticipé

- Soient $(X_i)_{i \geq 0}$ des v.a. i.i.d. de loi X , telle que pour tout $x > 0$:

$$\frac{\mathbf{P}[X \geq xt]}{\mathbf{P}[X \geq t]} \xrightarrow{t \rightarrow \infty} x^{-\alpha} \quad (0 < \alpha < 1).$$

- Si $t > 0$, on définit :

$$i(t) = \min \{i \mid X_i \geq t\} \quad \text{et} \quad S(t) = X_0 + \dots + X_{i(t)-1}.$$

Théorème [B., Sportiello 2015]

Le processus $S(t)/t$ tend en distribution vers la loi D_α telle que :

$$\mathbf{E}[e^{zD_\alpha}] = \left(1 - \sum_{n=1}^{\infty} \frac{\alpha}{n - \alpha} \frac{z^n}{n!}\right)^{-1}.$$

- Éléments de preuve :

$$\mathbf{E}[e^{zS(t)}] = \frac{\mathbf{P}[X \geq t]}{1 - \mathbf{E}[e^{zX} \mathbf{1}_{X < t}]}; \quad \frac{\mathbf{E}[X^n \mathbf{1}_{X < t}]}{\mathbf{P}[X \geq t]} \sim \frac{\alpha}{n - \alpha} t^n.$$

Loi limite du rejet anticipé

- Soient $(X_i)_{i \geq 0}$ des v.a. i.i.d. de loi X , telle que pour tout $x > 0$:

$$\frac{\mathbf{P}[X \geq xt]}{\mathbf{P}[X \geq t]} \xrightarrow{t \rightarrow \infty} x^{-\alpha} \quad (0 < \alpha < 1).$$

- Si $t > 0$, on définit :

$$i(t) = \min \{i \mid X_i \geq t\} \quad \text{et} \quad S(t) = X_0 + \dots + X_{i(t)-1}.$$

Théorème [B., Sportiello 2015]

Le processus $S(t)/t$ tend en distribution vers la loi D_α telle que :

$$\mathbf{E}[e^{zD_\alpha}] = \left(1 - \sum_{n=1}^{\infty} \frac{\alpha}{n - \alpha} \frac{z^n}{n!}\right)^{-1}.$$

- Éléments de preuve :

$$\mathbf{E}[e^{zS(t)}] = \frac{\mathbf{P}[X \geq t]}{1 - \mathbf{E}[e^{zX} \mathbf{1}_{X < t}]}; \quad \frac{\mathbf{E}[X^n \mathbf{1}_{X < t}]}{\mathbf{P}[X \geq t]} \sim \frac{\alpha}{n - \alpha} t^n.$$

- La loi D_α est dite de **Darling-Mandelbrot** [Darling 1952, Lew 1994].

Loi limite du rejet anticipé

- Soient $(X_i)_{i \geq 0}$ des v.a. i.i.d. de loi X , telle que pour tout $x > 0$:

$$\frac{\mathbf{P}[X \geq xt]}{\mathbf{P}[X \geq t]} \xrightarrow{t \rightarrow \infty} x^{-\alpha} \quad (0 < \alpha < 1).$$

- Si $t > 0$, on définit :

$$i(t) = \min \{i \mid X_i \geq t\} \quad \text{et} \quad S(t) = X_0 + \dots + X_{i(t)-1}.$$

Théorème [B., Sportiello 2015]

Le processus $S(t)/t$ tend en distribution vers la loi D_α telle que :

$$\mathbf{E}[e^{zD_\alpha}] = \left(1 - \sum_{n=1}^{\infty} \frac{\alpha}{n - \alpha} \frac{z^n}{n!}\right)^{-1}.$$

- Éléments de preuve :

$$\mathbf{E}[e^{zS(t)}] = \frac{\mathbf{P}[X \geq t]}{1 - \mathbf{E}[e^{zX} \mathbf{1}_{X < t}]}; \quad \frac{\mathbf{E}[X^n \mathbf{1}_{X < t}]}{\mathbf{P}[X \geq t]} \sim \frac{\alpha}{n - \alpha} t^n.$$

- La loi D_α est dite de **Darling-Mandelbrot** [Darling 1952, Lew 1994].
- Si $\alpha \geq 1$, convergence vers une loi **exponentielle**.

Loi limite des algorithmes de rattrapage

- On note B_n et M_n les surcoûts en bits aléatoires et accès mémoire dus aux rattrapages.

Théorème [B. 2016]

Le processus B_n se comporte comme une **gaussienne**, avec :

$$\mathbf{E}[B_n] \sim \frac{\log^2 n}{4 \log 2}, \quad \mathbf{V}[B_n] \sim \frac{\log^3 n}{6 \log^2 2}.$$

Le processus M_n/n tend en distribution vers la loi $L_{1/2}$, avec :

$$\mathbf{E}[e^{zL_\alpha}] = \exp\left(\sum_{n=1}^{\infty} \frac{\alpha}{n(n+1)} \frac{z^n}{n!}\right).$$

Loi limite des algorithmes de rattrapage

- On note B_n et M_n les surcoûts en bits aléatoires et accès mémoire dus aux rattrapages.

Théorème [B. 2016]

Le processus B_n se comporte comme une **gaussienne**, avec :

$$\mathbf{E}[B_n] \sim \frac{\log^2 n}{4 \log 2}, \quad \mathbf{V}[B_n] \sim \frac{\log^3 n}{6 \log^2 2}.$$

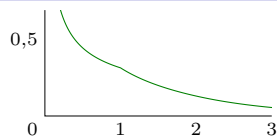
Le processus M_n/n tend en distribution vers la loi $L_{1/2}$, avec :

$$\mathbf{E}[e^{zL_\alpha}] = \exp\left(\sum_{n=1}^{\infty} \frac{\alpha}{n(n+1)} \frac{z^n}{n!}\right).$$

- Preuve : l'ensemble des points de rattrapage divisés par n tend vers un **processus de Poisson** sur $(0, 1]$ de densité $\lambda(x) = \frac{1}{2x}$.

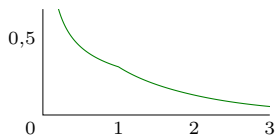
Densité de la loi D_α

$$\mathbf{E}[e^{zD_\alpha}] = \left(1 - \sum_{n=1}^{\infty} \frac{\alpha}{n - \alpha} \frac{z^n}{n!}\right)^{-1}$$



Densité de la loi D_α

$$\mathbf{E}[e^{zD_\alpha}] = \left(1 - \sum_{n=1}^{\infty} \frac{\alpha}{n-\alpha} \frac{z^n}{n!}\right)^{-1}$$



- La **transformée de Laplace** de D_α se met sous la forme :

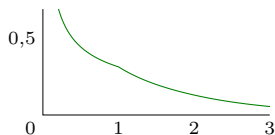
$$\mathbf{E}[e^{-zD_\alpha}] = \frac{A(z)}{1 - B(z)},$$

$$A(z) = \frac{z^{-\alpha}}{\Gamma(1-\alpha)}$$

$$B(z) = \int_z^\infty \frac{e^{-y} y^{-1-\alpha}}{\Gamma(-\alpha)} dy.$$

Densité de la loi D_α

$$\mathbf{E}[e^{zD_\alpha}] = \left(1 - \sum_{n=1}^{\infty} \frac{\alpha}{n - \alpha} \frac{z^n}{n!}\right)^{-1}$$



- La **transformée de Laplace** de D_α se met sous la forme :

$$\mathbf{E}[e^{-zD_\alpha}] = \frac{A(z)}{1 - B(z)},$$

$$A(z) = \frac{z^{-\alpha}}{\Gamma(1 - \alpha)}$$

$$B(z) = \int_z^\infty \frac{e^{-y} y^{-1-\alpha}}{\Gamma(-\alpha)} dy.$$

- Sa **densité** $f(x)$ vaut donc :

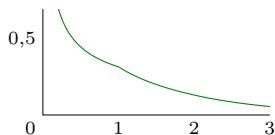
$$f(x) = \sum_{k=0}^{\infty} a * b^{*k}(x),$$

$$a(x) = \frac{\sin(\alpha\pi)}{\pi} x^{\alpha-1}$$

$$b(x) = -\frac{\sin(\alpha\pi)}{\pi} \frac{(x-1)^\alpha}{x} \mathbf{1}_{x>1}$$

Densité de la loi D_α

$$\mathbf{E}[e^{zD_\alpha}] = \left(1 - \sum_{n=1}^{\infty} \frac{\alpha}{n - \alpha} \frac{z^n}{n!}\right)^{-1}$$



- La **transformée de Laplace** de D_α se met sous la forme :

$$\mathbf{E}[e^{-zD_\alpha}] = \frac{A(z)}{1 - B(z)},$$

$$A(z) = \frac{z^{-\alpha}}{\Gamma(1 - \alpha)}$$

$$B(z) = \int_z^\infty \frac{e^{-y} y^{-1-\alpha}}{\Gamma(-\alpha)} dy.$$

- Sa **densité** $f(x)$ vaut donc :

$$f(x) = \sum_{k=0}^{\infty} a * b^{*k}(x),$$

$$a(x) = \frac{\sin(\alpha\pi)}{\pi} x^{\alpha-1}$$

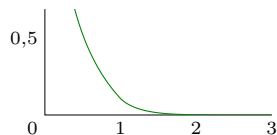
$$b(x) = -\frac{\sin(\alpha\pi)}{\pi} \frac{(x-1)^\alpha}{x} \mathbf{1}_{x>1}$$

et vérifie :

$$x f'(x) + (1 - \alpha) f(x) = -\alpha f * f(x - 1).$$

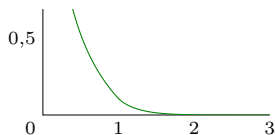
Densité de la loi $L_{1/2}$

$$\mathbf{E}[e^{zL_{1/2}}] = \exp\left(\sum_{n=1}^{\infty} \frac{1}{2n(n+1)} \frac{z^n}{n!}\right)$$



Densité de la loi $L_{1/2}$

$$\mathbf{E}[e^{zL_{1/2}}] = \exp\left(\sum_{n=1}^{\infty} \frac{1}{2n(n+1)} \frac{z^n}{n!}\right)$$



- La **transformée de Laplace** de $L_{1/2}$ se met sous la forme :

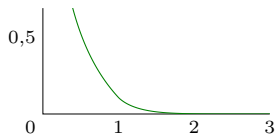
$$\mathbf{E}[e^{-zL_{1/2}}] = A(z) \exp(B(z)),$$

$$A(z) = e^{\frac{1-\gamma}{2}} e^{-\frac{1}{2z}} z^{-1/2}$$

$$B(z) = \int_z^{\infty} \frac{e^{-y}}{2y^2} dy.$$

Densité de la loi $L_{1/2}$

$$\mathbf{E}[e^{zL_{1/2}}] = \exp\left(\sum_{n=1}^{\infty} \frac{1}{2n(n+1)} \frac{z^n}{n!}\right)$$



- La **transformée de Laplace** de $L_{1/2}$ se met sous la forme :

$$\mathbf{E}[e^{-zL_{1/2}}] = A(z) \exp(B(z)),$$

$$A(z) = e^{\frac{1-\gamma}{2}} e^{-\frac{1}{2z}} z^{-1/2}$$

$$B(z) = \int_z^{\infty} \frac{e^{-y}}{2y^2} dy.$$

- Sa **densité** $f(x)$ vaut donc :

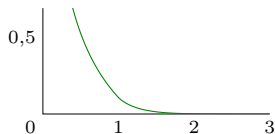
$$f(x) = \sum_{k=0}^{\infty} \frac{a * b^{*k}(x)}{k!},$$

$$a(x) = e^{\frac{1-\gamma}{2}} \frac{\cos \sqrt{2x}}{\sqrt{\pi x}}$$

$$b(x) = \frac{x-1}{2x} \mathbf{1}_{x>1}$$

Densité de la loi $L_{1/2}$

$$\mathbf{E}[e^{zL_{1/2}}] = \exp\left(\sum_{n=1}^{\infty} \frac{1}{2n(n+1)} \frac{z^n}{n!}\right)$$



- La **transformée de Laplace** de $L_{1/2}$ se met sous la forme :

$$A(z) = e^{\frac{1-\gamma}{2}} e^{-\frac{1}{2z}} z^{-1/2}$$

$$\mathbf{E}[e^{-zL_{1/2}}] = A(z) \exp(B(z)),$$

$$B(z) = \int_z^{\infty} \frac{e^{-y}}{2y^2} dy.$$

- Sa **densité** $f(x)$ vaut donc :

$$f(x) = \sum_{k=0}^{\infty} \frac{a * b^{*k}(x)}{k!},$$

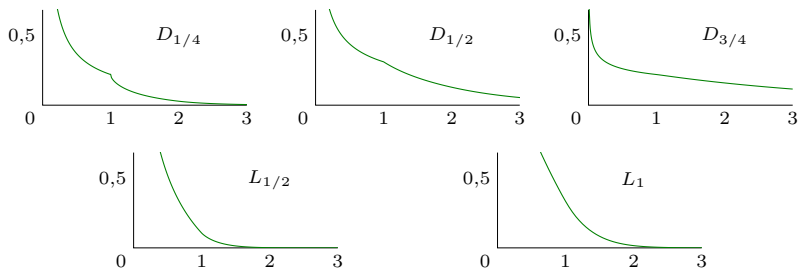
$$a(x) = e^{\frac{1-\gamma}{2}} \frac{\cos \sqrt{2x}}{\sqrt{\pi x}}$$

$$b(x) = \frac{x-1}{2x} \mathbf{1}_{x>1}$$

et vérifie :

$$2xf''(x) + 3f'(x) + f(x) = f(x-1).$$

Autres résultats sur les densités



- Queues de distribution [Lew 94] :

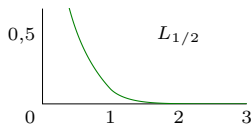
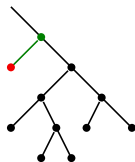
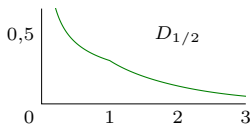
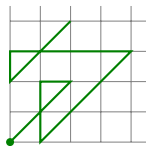
$$\mathbf{P}[D_\alpha \geq x] = \frac{e^{-a_0}}{\alpha} e^{-a_0 x} + \mathcal{O}(e^{-a_1 x})$$

$$\mathbf{P}[L_\alpha \geq x] = x^{-x} (\log x)^{-2x} (\alpha e)^{x+o(x)}$$

- En cas de deuxième tour de rejet avec $p = 1/(1 + \beta)$:

$$\mathbf{E}[e^{zD_{\alpha,\beta}}] = \left(1 - \sum_{n=1}^{\infty} \frac{\alpha + \beta n}{n - \alpha} \frac{z^n}{n!}\right)^{-1}$$

Perspectives



- Peut-on appliquer ces procédés à d'autres familles de marches ou d'arbres? ($+a/-b$, etc.)
- Existe-t-il d'autres distributions ayant le même genre de propriétés? (ex : fonction de Dickman en théorie des nombres)